

## (討13) 高張力鋼の韌性における組織以外の要因について

大阪大学工学部

菊田米男

○荒木秀雄

## 1. 緒言

構造用高張力鋼の多くは焼入れ焼戻し処理により微細な組織を得て、高張力化を計り、強韌性鋼ではあるが、实用面において、倒立は焼戻しにより、焼接部等では焼戻入熱量の増加とともに、切欠韌性の低下が生じ、脆性破壊の危険性を有し、焼接施工上、難点が多びられに対する配慮を伴なう場合がある。この場合、焼接不ント野に近接した部分では最高加熱温度が高く、鋼材の最高温度以下となり、その組織は焼接熱サイクルの冷却過程における  $800^{\circ}\text{C}$  から  $500^{\circ}\text{C}$  までの温度範囲の冷却時間に支配されるが、オーステナイトは粗大化し、フェライト+ウッドマンステン組織を呈する場合、あるいはマルテンサイトとベイナイトとの混合組織を呈する場合もある。したがって、冷却時間に依存する組織形態が密接に韌性と関連を有するものと考えられる。本稿はかかる意味で  $80\text{kg/mm}^2$  超高張力鋼の恒温変態温度による連続冷却変態処理により得られた各種変態組織の衝撃性値を調べ、韌性における組織とそれにおけるオーステナイト粒度、フェライトラスの厚さおよびセメントタイト等の要因について検討を行った。

## 2. 韌性におけるオーステナイト粒度の影響

一般にはオーステナイト粒度を微細化することにより韌性が向上することよく知られている。本実験においても同様の傾向が得られ、倒立はオーステナイト粒度が  $100\mu$  より  $350\mu$  の場合を図1に示したが、オーステナイト粒度が  $100\mu$  の方が  $350\mu$  の場合に比べて韌性が良好である。しかし、遷移温度がいずれのオーステナイト粒度の場合も  $\text{Ac}_3$  変態点より  $500^{\circ}\text{C}$  までの冷却時間が  $30\text{sec}$  以上にて上昇し、冷却時間が遅くなるほど遷移温度は同一となることが認められた。このように、韌性を支配する要因の一として、冷却時間が早い場合にオーステナイト粒度依存性が考へられたが、比較的ゆっくりとした冷却時間の場合、その依存性は認められなかった。したがって韌性に対して冷却時間に依存する複雑な組織的要因を考慮すべきと考えられる。

## 3. 恒温変態組織と韌性

試片の作製は高周波誘導加熱炉にて  $1350^{\circ}\text{C}$  まで加熱し、その温度で保持することなく、直ちに所定の恒温変態温度まで急冷を行ない、その後過熱化水浴槽中にて所定の時間恒温保持を行なった後、水冷を入れを行なった。恒温保持温度は  $550^{\circ}\text{C}$ ,  $500^{\circ}\text{C}$ ,  $450^{\circ}\text{C}$ ,  $400^{\circ}\text{C}$  より  $350^{\circ}\text{C}$  とし、保持時間は  $550^{\circ}\text{C}$  は  $400^{\circ}\text{C}$  の各々については  $20\text{min}$ ,  $350^{\circ}\text{C}$  の場合の  $20\text{min}$  とした。これらを熱凍結にて得られた試験片のオーステナイト粒度は約  $300\sim 350\mu$  であった。なお恒温変態処理を行なうまでの  $\text{Ac}_3$  変態点より  $500^{\circ}\text{C}$  までの冷却時間は  $30\text{sec}$ ,  $70\text{sec}$ ,  $130\text{sec}$  とし、所定の恒温変態温度に到達した後、直ちに恒温変態処理を行なった。

得られた組織は、 $\text{Ac}_3$  変態点より  $500^{\circ}\text{C}$  までの冷却時間  $30\text{sec}$  の場

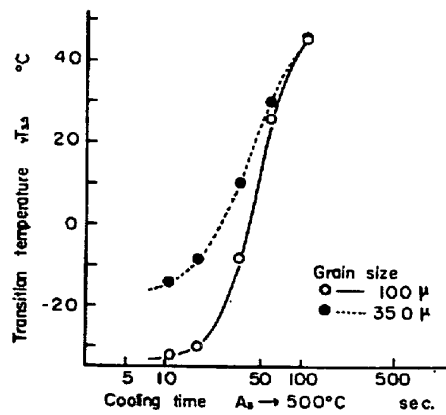


図1. 遷移温度におけるオーステナイト粒度と冷却時間の影響

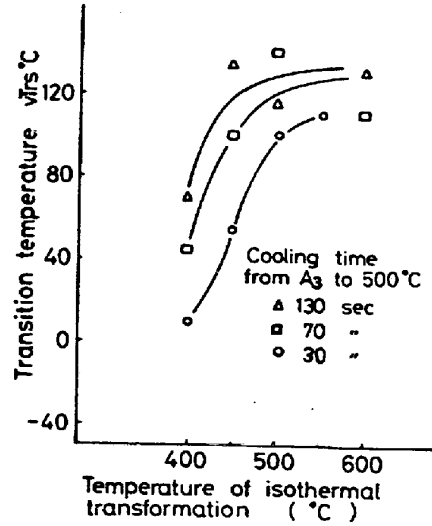


図2. 破面遷移温度における恒温変態温度と冷却時間の影響



A. (恒温変態温度: 400°C)



B. (恒温変態温度: 350°C)

写真 1 恒温変態組織 (X3000 : レフリカ)

右について記す。

恒温変態温度 550°C にて変態せしめた組織は変態未完了で炭化物析出を伴なわぬハーフエライトが生成し、未変態オーステナイトは水焼入れによつてマルテンサイトに変態しているのが認められた。500°C にて恒温変態した組織は炭化物析出を伴なわぬハーフエライト。450°C にて恒温変態せしめた組織は、550°C ~ 500°C にて変態を付した場合と同様、フェライト粒界に層状セメンタイトの析出が観察された。400°C にて恒温変態を付した場合の組織は 450°C にての場合と同様、上部ベイナイトであったが、それに比べてセメンタイトがやや細いようであった。さらに 350°C にて恒温変態を行つた場合の組織は前者より、より細かいセメンタイトの析出を伴なつたベイナイトであった。写真 1 はセメンタイトの析出を示したもので、ラス境界間隔は恒温変態温度が低いほど狭く、微細なセメンタイトの析出を伴なつていた。

$Ac_3$  变態点より 500°C までの冷却時間が 70 sec. および 130 sec. ある場合のそれより恒温変態により得た組織の冷却時間が 30 sec. の場合と同様の形態であったが、わずかにがくされに比べて、フェライト・ラス間にセメンタイトを析出した程度が低くなり、フェライト・ラスが大きくなつたようであった。

図 2 は恒温変態温度と破面遷移温度との関係を示した。恒温変態処理温度が高くなるほど、すなはち冷却時間が遅くなるほど遷移温度は上位にシフトする傾向が認められた。500°C 以上で恒温変態を行つた試料では破面遷移温度が高い、これはベニティック・フェライトおよび本变態オーステナイトから生じた高炭素マルテンサイト組織のためと考えられる。すなはちベイナイト組織についてはこれに付して韧性は良好である。

ここで、一般にフェライト鋼の韧性はフェライト組織が支配的要因であつて、それにモリブデンを加えるが、ベイナイト組織においては上部ベイナイトでフェライト・ラス界面にセメンタイトの析出を伴なつて、下部ベイナイトでラスの内部に析出する。<sup>13</sup> そこで、フェライト・ラスの厚さまたはフェライト・ラスが明確でない組織についてはセメンタイト間の平均間隔をもつて韧性を評価した。

図 3 は測定したフェライト・ラスの平均厚さまたはセメンタイト間の平均間隔と破面遷移温度との関係を示した。(なお、後述の算出破面と破面遷移温度との関係も併記した。) 図に示すごとくフェライト・ラスの厚さ(すなはちセメンタイト間の平均間隔)と破面遷移温度との関係は直線的関係が認められた。すなはち、セメンタイトの析出を伴なわぬベニティック・フェライトはこの直線の左上部に位置し、わずかに高い  $VTrs$  値であり、フェライト・ラスの太さとともにマトリックス自体、韧性の低いものと考えられる。

図 3 より、フェライト・ラスの厚さは韧性における主要因の一つであり、ラスの厚さが小になると良好な韧性を示し、すなはち、セメンタイトの析出、分布についても韧性における主要因とも考えられる。

次に衝撃試験における破断面を Cr shadowing の 2 段レアリヤ法を用い、破断部の中央部よりレアリヤを採取し、電子顕微鏡により観察を行つた。その結果、破面觀察と組織との関係はベニティック・フェラ

トの組織では非常に大きな flat facet でかつ平滑である。上部ベイナイト組織ではベイナイト・フェライトの組織における破面に比べて、flat facet は小さく円形で、明瞭なリバーパターンが観察された。さらに恒温変態組織が低く下るに従って、微小亜裂が単位破面内で同時に成長し、高密度に彎曲した引裂線が認められ、延性的もしくは擦へき開型の破面を示す傾向が認められた。

そこで一般にフェライト組織の場合、破面における heavy tear line は脆性亜裂がフェライト粒界で止まるが、ここで割れの方向が変化することにより形成され、フェライト粒界に形成される。したがって、本質的に割れの伝播に対する抵抗として働いている heavy tear line を有効結晶粒径とするとフェライト粒径が有効結晶粒径に近づくものと考えられる。<sup>2)</sup>

図3は破面観察から平均の heavy tear line の間隔を測定し、破面遷移温度との関係を求めた。それらの関係は図に示すごとく、直線関係を有するこことが認められた。heavy tear line については典型的なリバーパターンを示す破面では個々の flat facet の境界で tear line が形成される場合が多く、ほぼ heavy tear line 間隔が単位破面と考えられる。寺崎<sup>3)</sup>はこの領域の大きさを unit crack path として測定し、脆性との関連を詳細に報告している。また下部ベイナイトのように擦へき開型破面を示す場合では heavy tear line に囲まれた領域が単位破面を示すものと考えられる。

以上の結果から図3において、単位破面はフェライト・ラスの厚さ(またはセメントタイト間の平均間隔)より 2 倍へ 3 倍程度大きいことおよび恒温変態によって得られたベイナイト組織の脆性はフェライト・ラスの厚さまたはセメントタイト間の平均間隔に依存し、それらの大きさが小さいほど良好である。

#### 4. 連続冷却変態組織と脆性

図4は最高加熱温度 1350°C まで  $Ac_3$  変態まで急冷後、 $Ac_3$  変態まで 500°C までの冷却時間を 30 sec. 70 sec. および 130 sec. とし、連続冷却過程中の温度にて水冷処理を行った場合、得られた組織の破面遷移温度を示す。 $Ac_3$  変態まで 500°C までの冷却時間が 30 sec. の場合、冷却速度の低下とともに破面遷移温度が低くなる傾向であった。しかし冷却時間が 70 sec. および 130 sec. の場合に 30 sec. の場合と異なり、水冷入水温度が 450°C ～ 500°C の間で破面遷移温度が高い。これと前述の恒温変態組織における結果、図2の場合と同程度の破面遷移温度であり、ベイナイト・フェライトの性質を示すものと考えられる。一方、同じ冷却時間において、水冷入水温度が 400°C および 600°C では他の破面遷移温度であった。600°C の場合 C.C.T 図から知られるごとく、その温度で変態は始まつておらず、組織もペルテンサイトであり、良好な脆性を示すものと考えられる。400°C の場合はベイナイト・フェライトからセメントタイトの析出と併行してマトリックスの脆性が向上したものと考えられる。

図5は前述の恒温変態組織の場合と同様、連続冷却変態組織の脆性について、フェライト・ラスの厚さ、破面観察結果からの heavy tear line の平均間隔(単位破面)および破面遷移温度との関係を整理して示したものである。(恒温変態組織の結果をも併記して示した。) 連続冷却処理

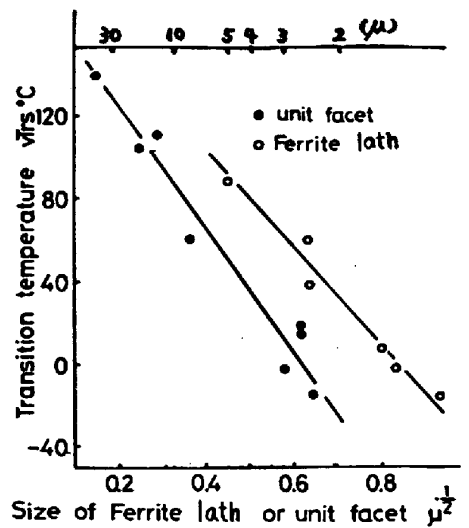


図3 恒温変態組織における破面遷移温度とフェライト・ラスの厚さと単位破面との関係

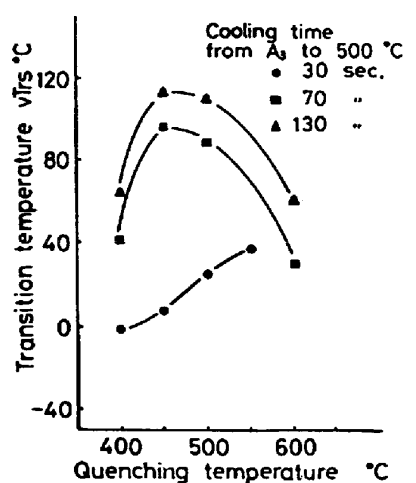


図4 連続冷却変態過程の破面遷移温度における水冷入水温度と冷却時間の影響

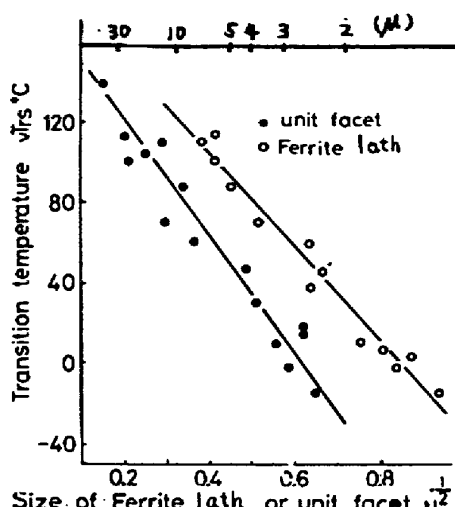


図5 恒温変態組織における連続冷却

変態組織における破面遷移温度  
及におおむねフェライトラスの厚さと破面の  
面との関係

り、それ以下の処理によって得られた組織の韌性はフェライトラスの厚さによって決定されるものとして差支えないと考えられる。

### 5. 韌性におよぼすセメントタイトの影響

本実験において、各組織の韌性におよぼす要因としてフェライトラスの厚さとそれが不明瞭な場合のセメントタイト間の平均間隔に着目して、どちらについて整理を行ったが、K.J.Irvine等<sup>4)</sup>は上部ベイティトと下部ベイティトの韌性の差はセメントタイトの配列の差によるものと報じている。本実験においてセメントタイト間に平均間隔の差によって韌性の差が生じたものと解釈される。写真2-Aは連続冷却変態、冷却時間30secにおいて、遷移領域で観察された破面である。写真2-Bは一つ一つのdimple内に炭化物と考えられる点を残しておらず、微細なセメントタイト、二つ一つがdimpleへ起因していることにより割れ先端における塑性变形量を増加させ、吸収エネルギーを増加させるとともに示された。写真2-Bは冷却時間130secの場合に観察された破面でフェライトラスーセメントタイト界面が剥離したと考えられ、滑らかな層状の表面となつていい。これは下を行なうセメントタイトが連続の伝播に対して抵抗を示していないものと思われる。したがって炭化物の形状、分布が韌性に影響を及ぼし、炭化物がすべり帶の障害物となる場合、すべり帶が幅より十分大きくなる場合には(即ち)韌性は低下するものと示された。また写真3はE.P.M.A.の二次電子像と炭素の特性X線像を同一破面内の位置にて観察し、対比して示した。破面に

A: 冷却時間 30sec  
写真2 破面写真 (レプリカ)

B: 冷却時間 130sec



A: E.P.M.A. 二次電子像



B. 炭素特性X線像

写真3 破面における炭素分布

E.P.M.A.炭素分布を調べるために、リバーハーフンク装置上に炭化物が詰められた。したがって炭化物の應力伝播において、応力集中作用によって作用をし、少しおずかに炭化物の應力伝播を可能にするものと考えられる。

[参考文献] 1) 甲武・寺崎・大森・工芸・航と船, 1971(57) NO.11, 303

2) 寺崎・工芸・航と船, 1971(57) 5239

3) 寺崎・工芸・航と船, 1972(58) 1067~1075

4) K.J.Irvine,F.B.Pickering; "J.I.S.I., 1963 (20) 518